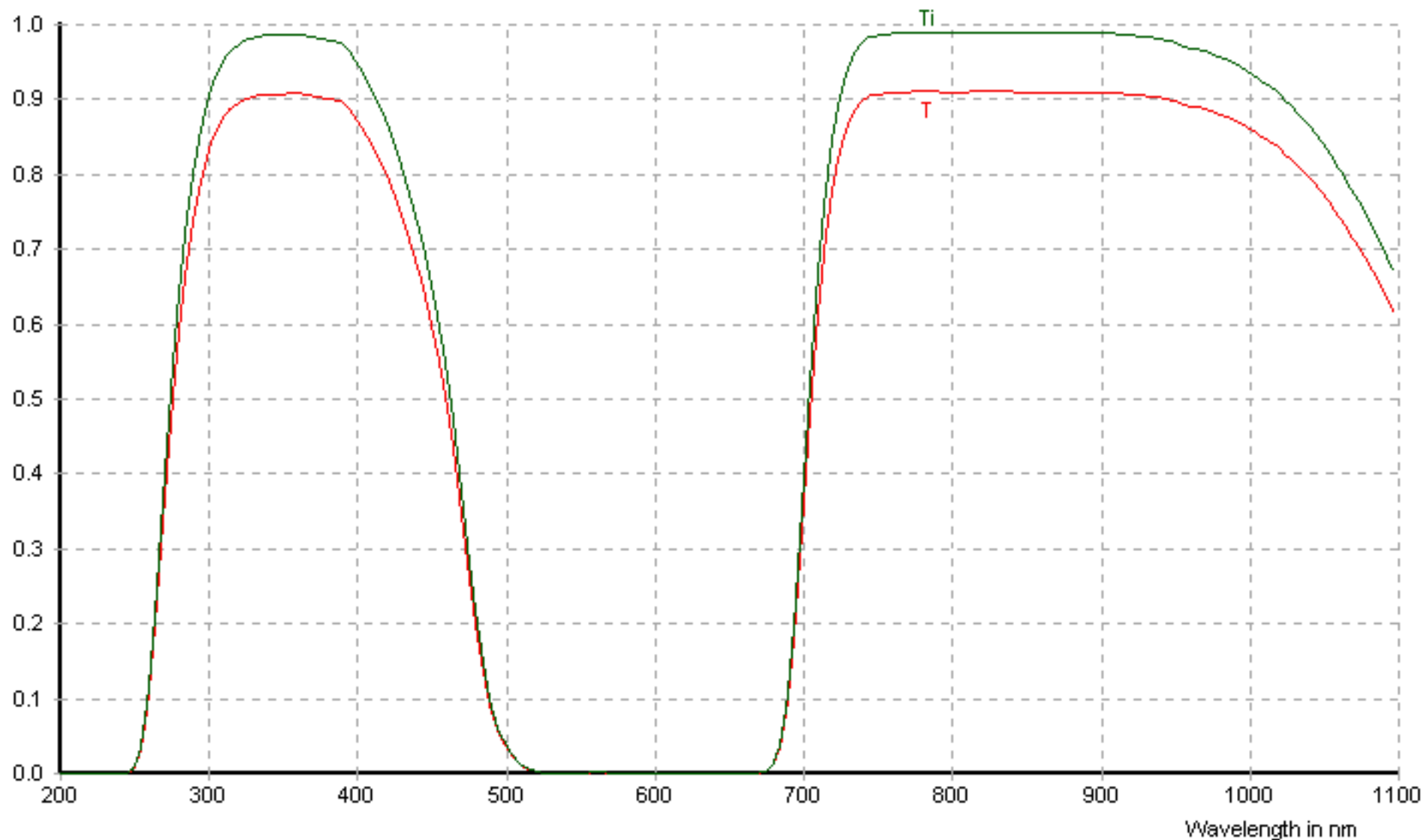


Thickness in mm : 1.0
Wavelength in nm :
Transmittance :
Internal Transmittance :

BG 3

SCHOTT
TOTAL CUSTOMER CARE



Reflection factor P_d	0.92
Bubble content Bubble class	1
Chemical resistance FR class	0
SR class	1.0
AR class	1.0

Density ρ [g/cm ³]	2.56
Transformation temperature T_g [°C]	478
Thermal expansion $\alpha_{-30/+70^\circ\text{C}}$ [10 ⁻⁶ /K]	8.8
$\alpha_{20/300^\circ\text{C}}$ [10 ⁻⁶ /K]	10.2
Temperature coefficient T_k [nm/°C]	

Per DIN 58191 BP 368/185
Per DIN 58191

Ionically colored glass

Limit values of τ_i
for thickness $d = 1$ mm

Wave-length [nm]	Limits	Value from catalog curve
365	≥ 0.94	0.99
633	$\leq 5 \cdot 10^{-5}$	$8 \cdot 10^{-6}$

Refractive index n

λ [nm]	Element	n
302.1	Hg	1.55
435.8	Hg	1.52
587.6	He	1.51
1014	Hg	1.50

Tristimulus values

	d [mm]	x	y	Y	λ_d [nm]	P_e
A	1	0.161	0.042	1	457	0.96
2856	2	0.167	0.024	0	446	0.98
K	3	0.171	0.020	0	440	0.98
	5	0.177	0.017	0	427	0.97
	1	0.158	0.038	1	457	0.97
3200	2	0.164	0.022	0	447	0.98
K	3	0.167	0.018	0	442	0.99
	5	0.172	0.014	0	433	0.98
	1	0.154	0.029	2	455	0.98
D_{65}	2	0.160	0.018	1	448	0.99
	3	0.163	0.014	0	444	1.00
	5	0.166	0.011	0	438	1.00

Application notes

Band pass filter
- see section 6.7.3

V
Transmission changes are possible under the action of intense ultraviolet radiation
- see section 8.3

Status June 1997

Transmittance τ and internal transmittance τ_i at $d = 1$ mm

λ [nm]	τ	τ_i	λ [nm]	τ	τ_i
200	$< 1 \cdot 10^{-5}$	$< 1 \cdot 10^{-5}$	700	0.33	0.36
210	$< 1 \cdot 10^{-5}$	$< 1 \cdot 10^{-5}$	710	0.60	0.66
220	$< 1 \cdot 10^{-5}$	$< 1 \cdot 10^{-5}$	720	0.78	0.85
230	$< 1 \cdot 10^{-5}$	$< 1 \cdot 10^{-5}$	730	0.86	0.94
240	$3 \cdot 10^{-5}$	$3 \cdot 10^{-5}$	740	0.90	0.98
250	0.006	0.006	750	0.91	0.99
260	0.09	0.10	760	0.91	0.99
270	0.33	0.36	770	0.91	0.99
280	0.58	0.63	780	0.91	0.99
290	0.73	0.80	790	0.91	0.99
300	0.83	0.90	800	0.91	0.99
310	0.87	0.95	850	0.91	0.99
320	0.89	0.97	900	0.91	0.99
330	0.90	0.98	950	0.90	0.98
340	0.91	0.99	1000	0.86	0.94
350	0.91	0.99	1060	0.75	0.81
360	0.91	0.99	1100	0.61	0.67
370	0.91	0.98	1200	0.23	0.25
380	0.90	0.98	1300	0.11	0.12
390	0.90	0.98	1400	0.14	0.15
400	0.87	0.95	1500	0.09	0.10
410	0.84	0.92	1600	0.12	0.13
420	0.80	0.87	1700	0.13	0.14
430	0.75	0.82	1800	0.14	0.15
440	0.69	0.75	1900	0.23	0.25
450	0.61	0.66	2000	0.37	0.40
460	0.51	0.55	2100	0.48	0.52
470	0.36	0.39	2200	0.57	0.62
480	0.20	0.22	2300	0.65	0.71
490	0.09	0.10	2400	0.70	0.76
500	0.04	0.04	2500	0.71	0.77
510	0.01	0.01	2600	0.71	0.77
520	0.004	0.004	2700	0.68	0.74
530	$6 \cdot 10^{-4}$	$6 \cdot 10^{-4}$	2800	0.55	0.60
540	$3 \cdot 10^{-4}$	$3 \cdot 10^{-4}$	2900	0.53	0.58
550	$6 \cdot 10^{-4}$	$6 \cdot 10^{-4}$	3000	0.52	0.57
560	0.002	0.002	3200	0.45	0.49
570	$9 \cdot 10^{-4}$	0.001	3400	0.38	0.41
580	$9 \cdot 10^{-5}$	$1 \cdot 10^{-4}$	3600	0.37	0.40
590	$< 1 \cdot 10^{-5}$	$< 1 \cdot 10^{-5}$	3800	0.39	0.42
600	$< 1 \cdot 10^{-5}$	$< 1 \cdot 10^{-5}$	4000	0.42	0.46
610	$< 1 \cdot 10^{-5}$	$< 1 \cdot 10^{-5}$	4200	0.37	0.40
620	$< 1 \cdot 10^{-5}$	$< 1 \cdot 10^{-5}$	4400	0.23	0.25
630	$< 1 \cdot 10^{-5}$	$< 1 \cdot 10^{-5}$	4600	0.07	0.08
640	$< 1 \cdot 10^{-5}$	$< 1 \cdot 10^{-5}$	4800	0.03	0.03
650	$< 1 \cdot 10^{-5}$	$< 1 \cdot 10^{-5}$	5000	0.007	0.008
660	$5 \cdot 10^{-5}$	$5 \cdot 10^{-5}$	5200	$3 \cdot 10^{-4}$	$3 \cdot 10^{-4}$
670	$6 \cdot 10^{-4}$	$6 \cdot 10^{-4}$			
680	0.01	0.01			
690	0.09	0.10			